

## МОДЕЛЬ МОНОИМПУЛЬСНОЙ СИСТЕМЫ С ДИСКРЕТНЫМ ФАЗИРОВАНИЕМ ДЛЯ ОЦЕНКИ ТОЧНОСТИ УГЛОВЫХ ИЗМЕРЕНИЙ

*Разработана математическая модель для оценки точности измерения угловых координат объекта фазовой суммарно-разностной моноимпульсной системой, выполненной на основе двумерной эквидистантной фазированной антенной решетки с дискретным фазированием. Определены методические угловые ошибки из-за дискретизации фазового фронта в апертуре фазированной антенной решетки в фазовом пространстве измерений для типовой модели. Приведены результаты численного моделирования. Предложен алгоритм оценки угловых координат адекватный уточненной модели измерений.*

Жесткие требования к многофункциональным РЛС по оперативной и точной перестройке параметров устройств для реализации многочисленных режимов функционирования приводят к необходимости применения быстродействующих управляющих и вычислительных устройств [1]. В РЛС с управляемыми диаграммами направленности (ДН) фазы в каналах излучателей антенных решеток регулируются с помощью дискретных фазовращателей. Дискретность регулировки фазы оказывает существенное влияние на ДН, скорость сканирования, число одновременно сопровождаемых и точность определения угловых координат лоцируемых объектов. Характер влияния дискретизации фазы в каналах фазированной антенной решетки (ФАР) РЛС на перечисленные характеристики РЛС различен [2]. Математические модели для расчета характеристик подсистем РЛС, учитывающие параметры дискретных схем, позволяют проанализировать эффективность принятых технических решений с точки зрения их влияния на конечные характеристики станции и получить количественные оценки на основе результатов численного моделирования.

Применение дискретных схем формирования фазового фронта в апертуре ФАР с фазовой суммарно-разностной моноимпульсной системы приводит к появлению дополнительных ошибок углометрии.

**Методы повышения точности измерений и оценивания.** Для повышения точности измерения пеленгатора с дискретным фазированием используются различные способы [2–4], основанные на:

- методах статистического усреднения по временной или/и пространственной координате ошибок системы измерения;
- анализе механизмов возникновения ошибок измерения и уточнении математической модели измерения, реализующей понятие условного истинного значения [5].

Эти направления и определяют два основных подхода к решению задачи.

Первый подход основан на изучении статистических свойств ошибок для их дальнейшей минимизации посредством аппаратурных и алгоритмических решений. При этом решения могут обеспечивать минимизацию фазовых ошибок дискретизации (уменьшения фазового дискрета, применения статистического алгоритма фазирования, введения детерминированного нелинейного начального фазового распределения, апертурных алгоритмов вычисления фазового распределения [2, 3]) и минимизацию систематической и случайных составляющих ошибок измерения угловых координат объекта. Систематические ошибки компенсируются алгоритмами юстировки, случайные составляющие — статистическим усреднением угловых ошибок измерения. Для этого требуется накопление достаточной статистики и проведение юстировочных работ, основанных на сравнении истинного значения с измеренным, в полном функциональном пространстве системы измерения. Истинное значение определяется эталонным объектом с заранее известными угловыми координатами.

К недостаткам такого подхода следует отнести значительные временные и материальные затраты, а также ограниченность области функционального пространства, в которой проводятся эксперименты для обучения алгоритмов, что зачастую приводит к их неэффективности вне зоны обучения.

В основе второго подхода лежит изучение физической природы угловых ошибок измерения, концентрированным итогом которого является математическая модель.

Представленная математическая модель фазовой суммарно-разностной моноимпульсной системы на основе двумерной эквидистантной ФАР с дискретным фазированием описывает точностные характеристики пеленгатора. Такие модели служат для анализа эффективности принятых технических решений, позволяют получить выражения для оценки угловых ошибок, могут быть использованы в моделирующих алгоритмах и при высокоточных измерениях для корректировки результатов замеров.

**Особенности системы измерения.** Предлагаемая математическая модель описывает моноимпульсную систему фазового типа на основе двумерной эквидистантной ФАР с амплитудным распределением произвольного вида, суммарно-разностной обработкой сигналов, когда фазовый фронт создается с помощью дискретных фазовращателей–фазопереклюателей с дискретом  $\Delta\varphi$ .

Амплитудное распределение произвольного вида  $A_{xz} \neq A_x A_z$  задается таблицей значений по номерам излучателей:  $z$  — номер столбца

строчно-столбцовой матрицы,  $z = -\bar{Z}; \bar{Z}$ ,  $z \neq 0$ ;  $x$  – номер строки строчно-столбцовой матрицы,  $x = -\bar{X}_z; \bar{X}_z$ ,  $x \neq 0$ . Зависимость  $X_z = f(z)$  представляется табличной функцией.

Фазовому суммарно-разностному пеленгатору на основе ФАР с амплитудным распределением произвольного вида присуще смещение фазовых центров подрешеток, зависящее от координат цели ( $\beta_u, \varepsilon_u$ ) и заданного направления выставления луча ( $\beta_3, \varepsilon_3$ ). В результате возникают дополнительные ошибки измерения угловых координат из-за априорной неопределенности положения цели и использования в алгоритме измерения постоянного значения базы. Оценка точности угловых измерений при дискретизации фазового фронта предполагает знание истинного значения базы  $b$ , которая для рассматриваемой моноимпульсной системы является сложной функцией измеряемых угловых координат цели и направления выставления луча.

**Фазовая ошибка дискретизации.** Фаза поля от  $xz$ -го излучателя в дальней зоне при дискретном фазировании будет отличаться от идеализированного варианта  $\alpha_{xz} = \psi_{xz} - k\Delta r_{xz}$ :

$$\alpha_{\delta xz} = \psi_{\delta xz} - k\Delta r_{xz},$$

где  $\psi_{xz} = mx_\delta + nz_\delta$  – линейное фазовое распределение по номерам излучателей;  $m = \frac{2\pi}{\lambda} \sin \varepsilon_3$ ;  $n = \frac{2\pi}{\lambda} \sin \beta_3$ ;  $x_\delta = d\bar{x}$  и,  $z_\delta = d\bar{z}$  – дискретные координаты излучателей полотна ФАР;  $k = 2\pi/\lambda$  – волновое число;  $\Delta r_{xz}$  – разность хода лучей для  $xz$ -го излучателя относительно центра полотна ФАР;  $\psi_{\delta xz} = \Delta\varphi[\frac{\psi_{xz}}{\Delta\varphi} + 0,5]$  – устанавливаемая фаза тока в  $xz$ -м элементе при дискретном способе задания;  $[]$  – операция округления до целого с недостатком.

Введем следующие понятия: непрерывные оси полотна ФАР  $\tilde{x}, \tilde{z}$ ; гладкая фаза на непрерывной оси

$$\tilde{\psi}_{xz} = \tilde{\psi}_x + \tilde{\psi}_z, \quad \tilde{\psi}_x = m\tilde{x}, \quad \tilde{\psi}_z = n\tilde{z};$$

дискретная фаза на непрерывной оси  $\tilde{\psi}_{\delta xz} = \Delta\varphi[\frac{\tilde{\psi}_{xz}}{\Delta\varphi} + 0,5]$ ; координаты переброса фазы на непрерывной оси  $\tilde{x}_k, \tilde{z}_k$ ; номер дискрета фазы  $-k = [\frac{m\tilde{x}}{\Delta\varphi} + \frac{n\tilde{z}}{\Delta\varphi} + 0,5]$ ,  $k = (-k_{\max}, k_{\max})$ , где  $k_{\max} = [\frac{m\tilde{x}_{\max}}{\Delta\varphi} + \frac{n\tilde{z}_{\max}}{\Delta\varphi} + 0,5]$ .

Фазовая ошибка (рис. 1)

$$\Delta\tilde{\psi}_{xz} = \tilde{\psi}_{xz} - \tilde{\psi}_\delta = m\tilde{x} + n\tilde{z} - \Delta\varphi \left[ \frac{m\tilde{x}}{\Delta\varphi} + \frac{n\tilde{z}}{\Delta\varphi} + 0,5 \right] \quad (1)$$

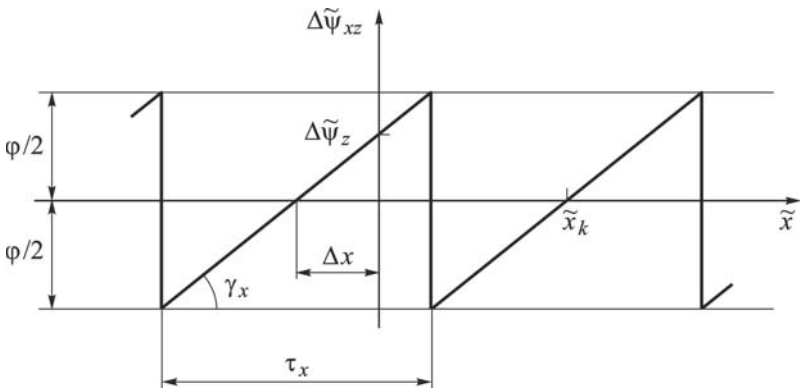


Рис. 1. Функция фазовой ошибки  $\Delta\tilde{\psi}_{xz}$  в сечении  $\tilde{z}$

лежит в пределах  $(-\Delta\varphi/2, \Delta\varphi/2)$  и представляет собой в сечениях  $\tilde{z} = \text{const}$  пилообразную периодическую функцию с одинаковыми по осям, параллельным оси  $\tilde{x}$ , периодами  $\tau_x$ . По осям, параллельным оси  $\tilde{z}$  (в сечениях  $\tilde{x} = \text{const}$ ), период функции фазовой ошибки —  $\tau_z$ . Угол наклона к оси  $\tilde{x}$  пилообразного участка  $\gamma_x$  в сечениях  $\tilde{z} = \text{const}$  соответствует углу наклона функции  $\tilde{\psi}_x$ . Поэтому  $\text{tg}(\gamma_x) = m$ .

Соответственно угол наклона к оси  $\tilde{z}$  пилообразного участка  $\gamma_z$  в сечениях  $\tilde{x} = \text{const}$  равен углу между функцией  $\tilde{\psi}_z$  и осью  $\tilde{z}$  —  $\text{tg} \gamma_z = n$ .

Следовательно, период функции  $\Delta\tilde{\psi}_{xz}$  по оси  $\tilde{x}$  составляет  $\tau_x = \frac{\Delta\varphi}{m}$ , по оси  $\tilde{z}$  —  $\tau_z = \frac{\Delta\varphi}{n}$ .

Отличие одноименных сечений  $\Delta\tilde{\psi}_{xz}$  друг от друга состоит в привязке пилообразной функции к началу координат сечения. Легко определить смещения  $\Delta x$ ,  $\Delta z$  пилообразной функции относительно нуля в сечениях

$$\tilde{z} = \text{const} - \Delta x = \frac{\Delta\tilde{\psi}_z}{m};$$

$$\tilde{x} = \text{const} - \Delta z = \frac{\Delta\tilde{\psi}_x}{n},$$

где  $\Delta\tilde{\psi}_z = \Delta\tilde{\psi}_{xz(x=0)} = n\tilde{z} - \Delta\varphi \left[ \frac{n\tilde{z}}{\Delta\varphi} + 0,5 \right]$ ,  $\Delta\tilde{\psi}_x = \Delta\tilde{\psi}_{xz(z=0)} = m\tilde{x} - \Delta\varphi \left[ \frac{m\tilde{x}}{\Delta\varphi} + 0,5 \right]$ .

Ошибка дискретизации фазового фронта в апертуре ФАР (1) можно выразить через периоды  $\tau_x$  и  $\tau_z$ :

$$\Delta\tilde{\psi}_{xz} = \frac{\tilde{x}}{\tau_x} + \frac{\tilde{z}}{\tau_z} + 0,5m\tilde{x} + n\tilde{z} - \Delta\varphi. \quad (2)$$

Период  $\tau_x$  обратно пропорционален синусу заданного угла  $\varepsilon_3$ , а

период  $\tau_z$  — синусу  $\beta_3$ , поэтому  $\beta_3$  и  $\varepsilon_3$  изменяют длительность ступенек  $\Delta\psi_{xz}$  по координатам  $\tilde{x}$ ,  $\tilde{z}$  и, как следствие, крутизну наклона пилообразных участков.

Формулы вычисления фазовой ошибки дискретизации для дискретного поля ФАР преобразуются из выражения (2) путем замены  $\tilde{x}$  на  $x_\delta$  и  $\tilde{z}$  на  $z_\delta$ :

$$\Delta\psi_{xz} = mx_\delta + nz_\delta - \Delta\varphi\left[\frac{x_\delta}{\tau_x} + \frac{z_\delta}{\tau_z} + 0,5\right]. \quad (3)$$

Таким образом, фазовая ошибка дискретизации  $\Delta\psi_{xz}$  является функцией номера строки  $x$ , номера столбца  $z$ , заданного направления выставления максимума ДН —  $\beta_3$ ,  $\varepsilon_3$ , а также рабочей длины волны (параметры:  $\Delta\varphi$  — фазовый дискрет, шаг расстановки излучателей —  $d$ , считаются константами), т.е.

$$\Delta\psi_{xz} = f(\beta_3, \varepsilon_3, x, z, \lambda). \quad (4)$$

**Оценка угловых характеристик.** Исходя из вида функции  $\Delta\psi_{xz}$ , делаем заключение о нечетности функции ошибок относительно дискретных координат  $\bar{x}$  и  $\bar{z}$ :  $\Delta\psi_{xz} = -\Delta\psi_{-x,-z}$ ;  $\Delta\psi_{x,-z} = -\Delta\psi_{-x,z}$ . Так как

$$\psi_{\delta xz} = \psi_{xz} - \Delta\psi_{xz}$$

и

$$\alpha_{\delta xz} = \alpha_{xz} - \Delta\psi_{xz},$$

поэтому и при дискретизации фазы имеют место соотношения:

$$\psi_{\delta x,z} = -\psi_{\delta -x,-z}; \quad \psi_{\delta x,-z} = -\psi_{\delta -x,z};$$

$$\alpha_{\delta x,z} = -\alpha_{\delta -x,-z}; \quad \alpha_{\delta x,-z} = -\alpha_{\delta -x,z}; \quad \alpha_{\delta -x,z} = -\alpha_{\delta x,-z}.$$

Следовательно, выражения для множителей решеток ДН суммарного и разностных каналов фазового пеленгатора с суммарно-разностной обработкой сигналов могут быть получены заменой  $\alpha_{xz}$  на  $\alpha_{\delta xz}$ :

$$f_{\Sigma\delta} = \frac{2}{E_{\max}} \sum_{z=1}^Z \sum_{x=1}^{X_z} A_{xz} (\cos \alpha_{\delta x,z} + \cos \alpha_{\delta -x,-z}); \quad (5)$$

$$f_{\beta\delta} = \frac{2j}{E_{\max}} \sum_{z=1}^Z \sum_{x=1}^{X_z} A_{xz} (\sin \alpha_{\delta -x,z} + \sin \alpha_{\delta x,z}); \quad (6)$$

$$f_{\varepsilon\delta} = \frac{2j}{E_{\max}} \sum_{z=1}^Z \sum_{x=1}^{X_z} A_{xz} (\sin \alpha_{\delta x,z} - \sin \alpha_{\delta -x,-z}). \quad (7)$$

Дискретная фаза в  $xz$ -м излучателе отличается от гладкой:

$$\alpha_{\delta x,z} = \alpha_{xz} - \Delta\psi_{xz} = a_z + b_x - \Delta\psi_{x,z};$$

$$\alpha_{\delta-x,z} = \alpha_{-x,z} - \Delta\psi_{-x,z} = a_z - b_x - \Delta\psi_{-x,z}.$$

Если введем обозначения

$$a_{\delta z,x} = a_z - \frac{\Delta\psi_{x,z} + \Delta\psi_{-x,z}}{2} \quad \text{и} \quad b_{\delta x,z} = b_x - \frac{\Delta\psi_{x,z} - \Delta\psi_{-x,z}}{2}, \quad (8)$$

то ДН половин ФАР на основе дискретного фазовращателя аналогичны по виду полученным для идеального фазового фронта с заменой  $a_z$  на  $a_{\delta z,x}$  и  $b_x$  на  $b_{\delta x,z}$ .

Фазовые ДН половин ФАР с дискретными фазовращателями равны по модулю и противоположны по знаку, поэтому справедливы расчетные соотношения моноимпульсной системы.

По формулам (5) и (7) рассчитаны с помощью ЭВМ сечения нормированных ДН суммарного и угломестного каналов при регулировке фазы с дискретом  $\Delta\varphi = \pi/4$ . Для сравнения приведены ДН при точном фазировании (гладкое фазовое распределение на непрерывной апертуре). Результаты расчетов приведены на рис. 2... 4.

При выставлении луча в направлении нормали ФАР ДН суммарного и угловых каналов при цифровом методе формирования фазового фронта совпадают с аналогичными ДН при идеальном фазовращателе. Действительно, при  $\beta_3 = 0$  и  $\varepsilon_3 = 0$  ошибка дискретизации фазы равна нулю. При отклонении луча от нормали появляется ошибка дискретизации фазы  $\Delta\psi_{xz}$ , которая имеет регулярный характер.

В результате воздействия  $\Delta\psi_{xz}$  происходит дополнительный поворот элементарных векторов  $A_{xz}e^{-j\alpha_{xz}}$ , что, в свою очередь, приводит к относительной расфазировки векторов в заданном направлении и, как следствие, к перераспределению энергии главного лепестка по углам. Результатами перераспределения энергии из-за  $\Delta\psi_{xz}$  в ДН суммарного канала являются: снижение на 5% КПД антенны в главном направлении; незначительное увеличение среднего уровня бокового фона и расширение главного лепестка ДН.

Регулярный характер ошибки дискретизации фазы приводит к возрастанию боковых лепестков ДН  $f_{\Sigma\delta}^E$  до -16 дБ.

Ноль дискриминационной характеристики (см. рис. 3) смещается из-за  $\Delta\psi_{xz}$  при направлениях, отличных от направления нормали (см. рис. 4), и имеет максимальное отклонение от нуля, равное 0,01. Незначительно падает крутизна дискриминационной характеристики.

Наличие коммутационных лепестков в ДН суммарного канала ведет к увеличению вероятности ложного обнаружения и аномальным ошибкам измерения из-за захвата цели боковым лепестком ДН.

Для уменьшения коммутационных лепестков вводится фазовая подставка  $\varphi_{xz}$  путем записи в память аппаратуры управления фазой чисел по номерам излучателей и соответствующим выбором длин

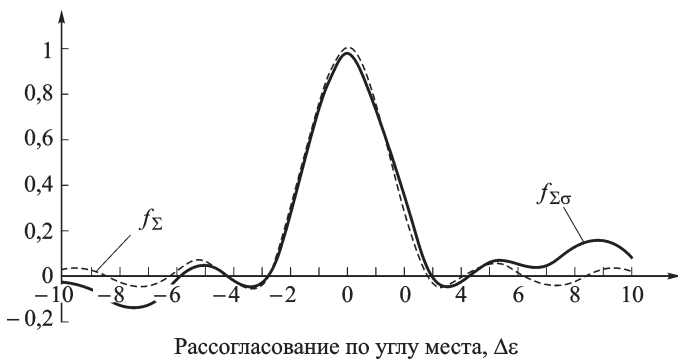


Рис. 2. Диаграмма направленности суммарного канала при идеальном и дискретном фазовращателе в сечении  $\beta_3 = 0$ ;  $\epsilon_3 = 1,05$ ;  $\Delta\beta = 0$

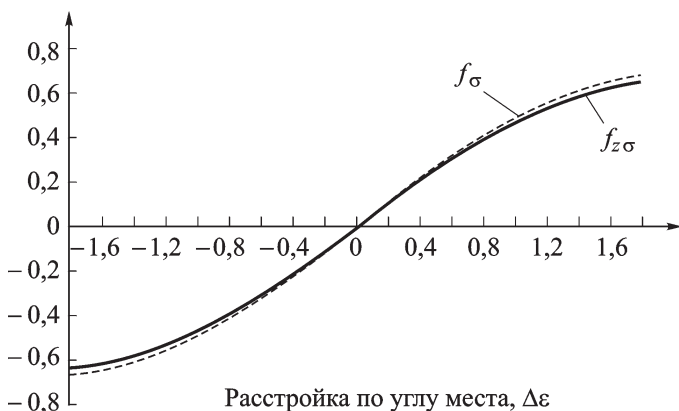


Рис. 3. Диаграмма направленности угломестного канала при идеальном и дискретном фазовращателе в сечении  $\beta_3 = 0$ ;  $\epsilon_3 = 20,1$ ;  $\Delta\beta = 0$

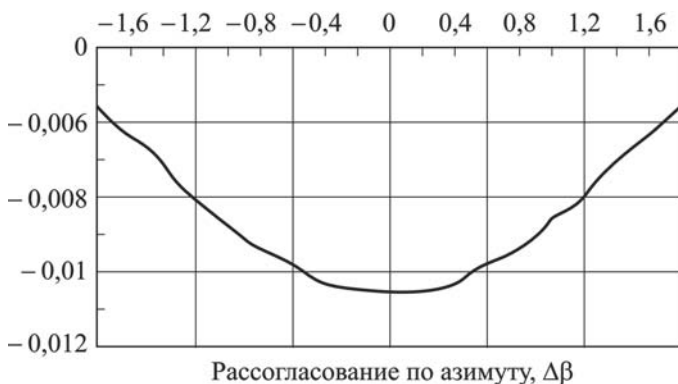


Рис. 4. Смещение нуля дискриминационной характеристики при  $\beta_3 = 0$ ;  $\epsilon_3 = 20,1$ ;  $\Delta\epsilon = 0$

линий передач до фазовращателей. Фазовая подставка разрушает регулярность  $\Delta\psi_{xz}$  и обеспечивает равномерное рассеяние энергии бокового фона в рабочем угловом секторе.

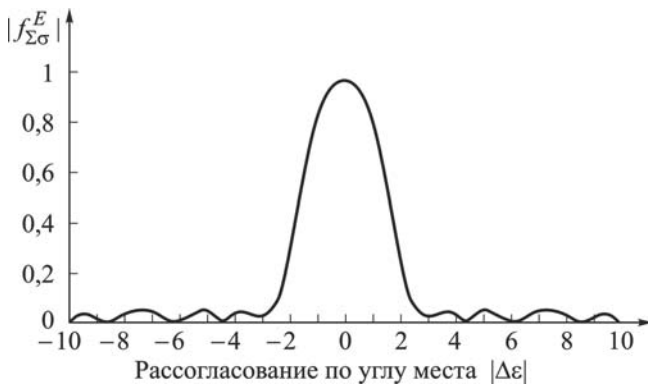


Рис. 5. Диаграмма направленности суммарного канала при дискретном фазовращателе с фазовой подставкой в сечении  $\beta_z = 0$ ;  $\epsilon_z = 1,05$ ;  $\Delta\beta = 0$

Ошибка дискретизации фазы при наличии фазовой подставки выражается формулой:

$$\Delta\psi_{xz} = mx_\delta + nz_\delta - \Delta\varphi\left[\frac{mx_\delta + nz_\delta - \varphi_{xz}}{\Delta\varphi} + 0,5\right] - \varphi_{xz}. \quad (9)$$

При введении  $\varphi_{xz}$  уменьшается уровень коммутационных лепестков до  $-25$  дБ. На рис. 5 показана ДН суммарного канала при дискретном фазировании с фазовой подставкой, рассчитанная на ЭВМ для аналогичного (см. рис. 2) сечения ДН.

Значение ДН канала в случае дискретного фазирования определяется не только функцией  $\alpha_{xz}$  рассогласования между направлением излучения (приема) и угловыми координатами цели, но также и функцией ошибки установки фазы фазовращателя  $\Delta\psi_{xz}$ , которая, в свою очередь, зависит от заданного направления и функции фазовой подставки:

$$f_\Sigma = \frac{1}{E_{\max}} \sum_z \sum_x A_{xz} \exp\{-j(\alpha_{xz} - \Delta\psi_{xz})\}.$$

Оценим снижение направленных свойств ФАР вследствие наличия  $\Delta\psi_{xz}$ . Приближение

$$f_\Sigma \approx \frac{1}{E_{\max}^2} \sum_k \sum_l \sum_z \sum_x A_{lk} A_{xz} \exp\{-j\alpha_{xz}\} \exp\{j\Delta\psi_{lk}\} = f_{\Sigma a}$$

справедливо в области главного максимума ДН (превращается в равенство при  $\alpha_{xz} \rightarrow 0$ ), которая и является рабочей областью в режиме измерения; в области бокового фона имеет место статистическая эквивалентность функций  $f_\Sigma$  и  $f_{\Sigma a}$ .

Следовательно, допустимо следующее представление:

$$f_\Sigma = f_{\Sigma k} f_{\Sigma u},$$

где  $f_{\Sigma k} = \frac{1}{E_{\max}} \sum_k \sum_l A_{lk} \exp\{j\Delta\psi_{lk}\}$  есть не что иное, как коэф-



коэффициент снижения направленных свойств ДН в главном направлении ( $\Delta\beta = 0, \Delta\varepsilon = 0$ ) вследствие дискретизации фазового фронта;  $f_{\Sigma u} = \frac{1}{E_{\max}} \sum_z \sum_x A_{xz} \exp\{-j\alpha_{xz}\}$  — ДН ФАР при идеальном (непрерывном) фазовом фронте и отсутствии амплитудно-фазовых ошибок.

Интегральный эффект фазовых ошибок дискретизации по излучателям ФАР проявляется в появлении дополнительных ошибок углометрии.

**Оценка угловых ошибок измерения.** Рассмотрим единичные ошибки измерения угловых координат объекта при наличии ошибок дискретизации фазы на примере угломестной координаты.

Дискретизация фазового фронта приводит к иной модели измерения, отличной от с модели [6]

$$\varepsilon_{\Pi} = \arcsin \left( \sin \varepsilon_3 - \frac{\lambda}{\pi d_6} \frac{\hat{\varphi}}{2} \right),$$

полученной в предположении плоского непрерывного фазового фронта. Отсюда вытекает задача оценки точности угловой координаты на основе типовой модели измерения при дискретном фазовом фронте в апертуре ФАР.

Для получения чистой составляющей угловой ошибки измерения, возникающей при дискретизации фазового фронта  $\Delta\varepsilon_2$ , следует вычислять значение базы моноимпульсной системы  $d_6$  в соответствии с точным положением фазовых центров при гладком фазовом фронте.

Тогда получаем расчетное соотношение для оценки  $\Delta\varepsilon_2$ :

$$\Delta\varepsilon_2 = \varepsilon_{\Pi} - \varepsilon_{\delta\Pi} = \varepsilon_{\Pi} - \arcsin \left\{ \left( 1 - \frac{\delta\varphi}{\varphi} \right) \sin \varepsilon_{\Pi} + \frac{\delta\varphi}{\varphi} \sin \varepsilon_3 \right\}, \quad (10)$$

где  $\varepsilon_{\delta\Pi} = \arcsin \left( \sin \varepsilon_3 - \frac{\lambda\varphi\delta}{2\pi d_6} \right)$  — оценка угловой координаты объекта на основе типовой модели измерения при дискретном фазовом фронте;

$$\varphi_{\delta} = 2\text{arctg} \frac{E_{\delta\varepsilon}}{E_{\delta\Sigma\perp}} = 2\text{arctg} \frac{|f_{\delta\varepsilon}| e^{j\varphi\varepsilon}}{|f_{\delta\Sigma}| e^{j(\varphi\Sigma+\pi/2)}} -$$

оценка разностной фазы между фазовыми центрами моноимпульсной системы при дискретном фазовом фронте в апертуре ФАР;

$E_{\delta\varepsilon}, E_{\delta\Sigma\perp}$  — напряжения при дискретном фазовом распределении на выходе угломестного канала компаратора и суммарного канала после поворота на  $\pi/2$ ;

$$|f_{\delta\varepsilon}| = \sqrt{f_{\varepsilon c}^2 + f_{\varepsilon s}^2} -$$

модуль множителя решетки угломестного канала при дискретном фа-

зовом фронте;

$$\varphi_\varepsilon = -\arctg \frac{f_{\varepsilon s}}{f_{\varepsilon c}};$$

$$f_{\varepsilon c} = \frac{1}{E_{\max}} \left( \sum_{z=-Z}^Z \sum_{x=-Xz}^{-1} A_{xz} \cos \alpha_{\delta xz} - \sum_{z=-Z}^Z \sum_{x=1}^{Xz} A_{xz} \cos \alpha_{\delta xz} \right), \quad z \neq 0;$$

$$f_{\varepsilon s} = \frac{1}{E_{\max}} \left( \sum_{z=-Z}^Z \sum_{x=-Xz}^{-1} A_{xz} \sin \alpha_{\delta xz} - \sum_{z=-Z}^Z \sum_{x=1}^{Xz} A_{xz} \sin \alpha_{\delta xz} \right), \quad z \neq 0 -$$

косинусная и синусная составляющие множителя решетки угломестного канала при дискретном фазовом фронте;

$$\alpha_{\delta xz} = \alpha_{xz} - \Delta\psi_{xz} -$$

фаза поля от излучателя ФАР с координатами  $x_\delta$  и  $z_\delta$  в дальней зоне ФАР при дискретном фазовом распределении;

$$\alpha_{xz} = a_z + b_x -$$

фаза поля от излучателя ФАР с координатами в дальней зоне ФАР при гладком фазовом фронте;  $\Delta\psi_{xz}$  — ошибка дискретизации фазы (3);

$$\varphi = 2 \arctg \frac{E_\varepsilon}{E_{\Sigma\perp}} = 2 \arctg \frac{\sum_{z=1}^Z \sum_{x=1}^{Xz} A_{xz} \cos a_z \sin b_x}{\sum_{z=1}^Z \sum_{x=1}^{Xz} A_{xz} \cos a_z \cos b_x} -$$

оценка разностной фазы между фазовыми центрами моноимпульсной системы при гладком фазовом распределении на непрерывной апертуре;

$$\delta_\varphi = \varphi - \varphi_\delta -$$

ошибка разностной фазы между фазовыми центрами моноимпульсной системы из-за дискретизации фазового фронта в апертуре ФАР;

$$|f_{\delta\Sigma}| = \sqrt{f_{\Sigma c}^2 + f_{\Sigma s}^2} -$$

модуль множителя решетки суммарного канала при дискретном фазовом фронте;

$$\varphi_\Sigma = -\arctg \frac{f_{\Sigma s}}{f_{\Sigma c}};$$

$$f_{\Sigma c} = \frac{1}{E_{\max}} \sum_{z=-Z}^Z \sum_{x=-Xz}^{Xz} A_{xz} \cos \alpha_{\delta xz}, \quad z \neq 0, \quad x \neq 0;$$

$$f_{\Sigma s} = \frac{1}{E_{\max}} \left( \sum_{z=-Z}^Z \sum_{x=-Xz}^{Xz} A_{xz} \sin \alpha_{\delta xz} \right), \quad z \neq 0, \quad x \neq 0 -$$

косинусная и синусная составляющие множителя решетки суммарного канала при дискретном фазовом распределении;

$$a_z = \frac{2\pi d}{\lambda} \bar{z} (\sin \beta_3 - \sin \beta_{\Pi}); \quad b_x = \frac{2\pi d}{\lambda} \bar{x} (\sin \varepsilon_3 - \sin \varepsilon_{\Pi});$$

$d$  – период эквидистантной решетки излучателей ФАР;

$$\bar{z} = \begin{cases} z - \frac{1}{2} & \text{при } z > 0; \\ z + \frac{1}{2} & \text{при } z < 0; \end{cases} \quad \bar{x} = \begin{cases} x - \frac{1}{2} & \text{при } x > 0; \\ x + \frac{1}{2} & \text{при } x < 0 \end{cases} -$$

координаты излучателей относительно геометрического центра полотна антенны.

Вывод соотношения (10) приведен далее (см. Приложение).

Рассчитанные значения ошибки  $\Delta\varepsilon_2$  приведены в виде графиков на рис. 6, а. . . з.

Расчеты выполнены для ФАР с круглой апертурой антенного полотна с эквидистантной строчно-столбцовой матрицей, заполненной 812 излучателями. Основные параметры полотна ФАР:  $d/\lambda = 0,875$ ;  $\Delta\phi = \pi/4$ ; число излучателей, расположенных вдоль радиуса раскрыва,  $z = 16$ . Амплитудное распределение показано на рис. 7. В фазовое распределение введена квадратичная подстановка.

Расчеты систематической ошибки  $\Delta\varepsilon_2$  (в градусах) для антенны с указанными ранее параметрами можно значительно упростить и ускорить, если использовать аппроксимирующую функцию:

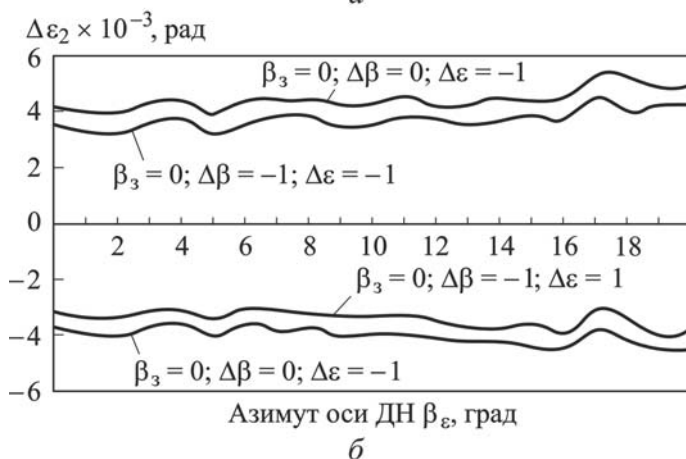
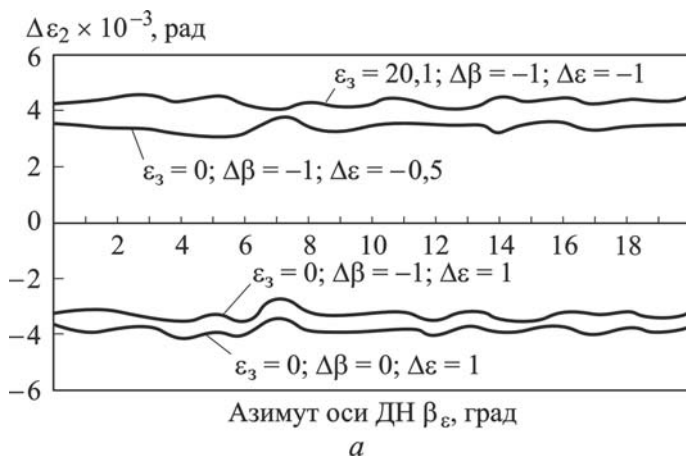
$$\Delta\varepsilon_2 = 0,057 [0,9 (\Delta\beta)^2 - 0,05 |\varepsilon_3| - 6,1] \sin (138\Delta\varepsilon). \quad (11)$$

Аппроксимация (11) вместо (10) позволяет существенно сократить число алгоритмических операций и число используемых при расчетах  $\Delta\varepsilon_2$  параметров, что чрезвычайно важно для алгоритмов управления системами в масштабе реального времени. При этом результаты замеров могут быть уточнены путем корректировки полученных значений  $\varepsilon_{\Pi}$  на величину  $\Delta\varepsilon_2$ :

$$\hat{\varepsilon}_{\Pi} = \varepsilon_{\Pi} - \Delta\varepsilon_2.$$

Методика коррекции результатов измерения азимутальной координаты полностью идентична рассмотренной.

*Приложение. Вывод соотношения (10).* Представление половин ФАР в виде эквивалентных точечных излучателей, расположенных в фазовых центрах моноимпульсной системы на расстоянии длины



**Рис. 6 (Начало).** Угловые ошибки из-за дискретизации фазового фронта в зависимости от углового положения оси ДН (*a*, *б*) и объекта (*в*, *г*)

базы  $d_6$ , приводит к соотношениям связи угловых координат цели с измеряемой фазой.

Разность хода лучей от цели до фазовых центров для зоны Фраунгофера  $\Delta r = d_6 \sin \varepsilon_{ц}$  определяет разностную фазу принятого сигнала

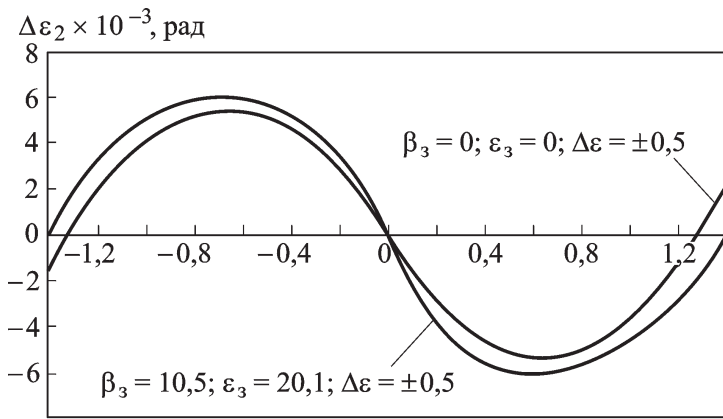
$$\varphi_{п} = -\frac{2\pi d_6}{\lambda} \sin \varepsilon_{ц}.$$

Компенсированный набег фазы за счет фазовращателей, выставяющих максимум ДН в направлении  $\varepsilon_3$ , составляет

$$\varphi_{к} = -\frac{2\pi d_6}{\lambda} \sin \varepsilon_3.$$

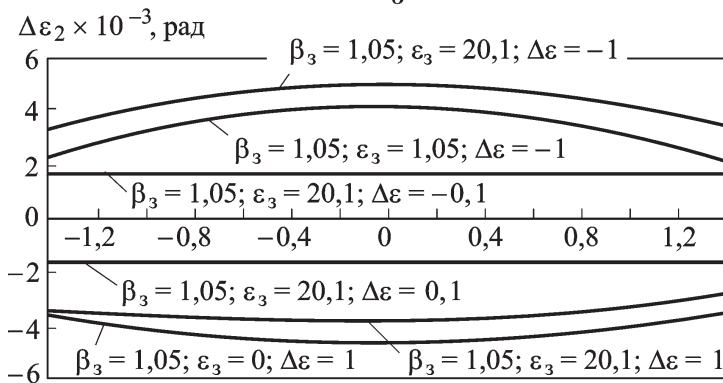
Следовательно, разностная фаза между фазовыми центрами моноимпульсной системы определяется разностью

$$\varphi = \varphi_{п} - \varphi_{к} = \frac{2\pi d_6}{\lambda} (\sin \varepsilon_3 - \sin \varepsilon_{ц}).$$



Угол места объекта  $\Delta\varepsilon$ , град

6



Азимут объекта  $\Delta\beta$ , град

2

Рис. 6 (окончание)

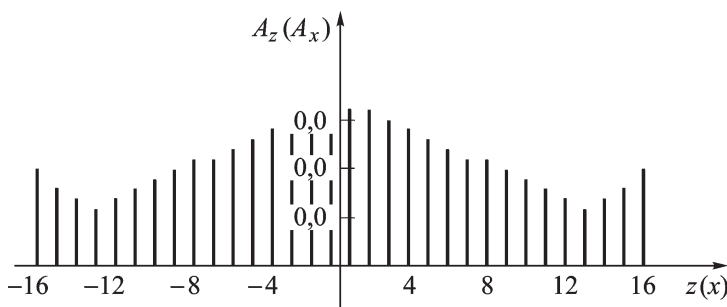


Рис. 7. Амплитудное распределение в сечениях по геометрическим осям симметрии ФАР

Откуда следует выражение для вычисления базы в  $\varepsilon$ -плоскости (значение базы моноимпульсной системы  $d_6$  в соответствии с точным положением фазовых центров при гладком фазовом фронте):

$$d_6 = \frac{\varphi\lambda}{2\pi(\sin \varepsilon_3 - \sin \varepsilon_{11})}$$

Чтобы получить чистую угловую ошибку измерения при дискретизации фазового фронта  $\Delta\varepsilon_2$  следует вычислять длину базы моноимпульсной системы  $d_6$  в соответствии с точным положением фазовых центров при гладком фазовом фронте.

Тогда получаем соотношение для оценки  $\Delta\varepsilon_2$ :

$$\Delta\varepsilon_2 = \varepsilon_{ц} - \varepsilon_{\delta_{ц}} = \varepsilon_{ц} - \arcsin \left\{ \sin \varepsilon_3 - \frac{\lambda\varphi_{\delta}}{2\pi d_6} \right\},$$

где  $\varepsilon_{\delta_{ц}} = \arcsin \left\{ \sin \varepsilon_3 - \frac{\lambda\varphi_{\delta}}{2\pi d_6} \right\}$  – оценка угловой координаты объекта на основе типовой модели измерения при дискретном фазовом фронте.

После подстановки

$$d_6 = \frac{\varphi\lambda}{2\pi(\sin \varepsilon_3 - \sin \varepsilon_{ц})}$$

(значения базы моноимпульсной системы в соответствии с точным положением фазовых центров при гладком фронте) и введения обозначения  $\delta_{\varphi} = \varphi - \varphi_{\delta}$  для ошибки разностной фазы между фазовыми центрами моноимпульсной системы из-за дискретизации фазового фронта в апертуре ФАР получаем:

$$\Delta\varepsilon_2 = \varepsilon_{ц} - \varepsilon_{\delta_{ц}} = \varepsilon_{ц} - \arcsin \left\{ \left( 1 - \frac{\delta_{\varphi}}{\varphi} \right) \sin \varepsilon_{ц} + \frac{\delta_{\varphi}}{\varphi} \sin \varepsilon_3 \right\}.$$

## СПИСОК ЛИТЕРАТУРЫ

1. Иванов Ю. П., Матвеев Н. П., Пивоваров Ю. Л. Функция неопределенности ЛЧМ сигнала, получаемого методом дискретной фазовой модуляции // Радиотехника. – 1981. – № 10.
2. Абрамов А. А., Черняков М. С. Повышение точности пеленгации в ФАР с дискретным фазированием // Радиотехника. – 1993.
3. Самойленко В. И., Шишов Ю. А. Управление фазированными антенными решетками. – М.: Радио и связь, 1983.
4. Новоселов Е. К., Потравка В. Ф., Чернышов В. С., Шпунтов А. И. Антенны / Под ред. А.А.Пистолькорса. – М.: Связь, 1980. – Вып. 28.
5. Володарский В. Я. Метрология и радиоэлектроника // Радиотехника. – 2003. – № 12.
6. Коростелев А. А., Ключев Н. Ф., Мельник Ю. А. и др. Теоретические основы радиолокации / Под ред. В.Е.Дулевича. – М.: Сов. радио, 1978.

Статья поступила в редакцию 12.03.2008

Николай Петрович Матвеев родился в 1950 г., окончил МВТУ им. Н.Э.Баумана в 1973 г. Ведущий специалист НТЦ ОАО “научно-производственный комплекс “НИИДАР”. Автор более 40 научных работ в области моделирования радиолокационных систем и устройств.

N.P. Matveev (b. 1950) graduated from the Bauman Moscow Higher Technical School in 1973. Leading specialist of scientific and technical center of JSC “Nauchno-proizvodstvennyi kompleks NIIDAR”. Author of more than 40 publications in the field of simulation of radio location systems and devices.